

## ВПЛИВ ВІБРАЦІЙНО-РОТАЦІЙНОГО ЗВ'ЯЗКУ В СТРУКТУРІ ЯДРА НА ПЕРЕРІЗИ НЕЙТРОН-ЯДЕРНОГО РОЗСІЯННЯ

І. Є. Кашуба, І. О. Корж, М. Т. Скляр, Т. І. Яковенко

На ядрах парно-парних ізотопів селену вивчено залежність теоретичних перерізів пружного та непружного розсіяния нейtronів від модельної трактовки структури ядра. Показано, що досліджувані ядра можуть мати статичну деформацію, а колективні рухи виникають навколо деформованого м'якого ротора.

### Вступ

В атомному ядрі як квантовому об'єкті можливе співіснування різних форм руху, які можна розглядати незалежними або пов'язаними між собою. Цей підхід дозволяє використовувати різноманітні модельні уявлення, що відзеркалюють певні структурні риси ядра та їх вплив на нуклон-ядерну взаємодію. Відомо, що кожна модель ядра має обмежену сферу своєї дієвості в просторі енергій збуджень, спінів, парностей та масових чисел. З цієї причини питання про вибір моделі ядра в кожному окремому випадку для аналізу експериментальної інформації має неабияке значення. Це стосується як достовірності теоретичних висновків, так і визначення чутливості обчислювальних фізичних величин (квантових характеристик збуджених станів ядра та ймовірностей електромагнітних переходів між ними, перерізів ядерних процесів) до її основних положень.

Для вивчення залежності теоретичних перерізів пружного та непружного розсіяния нейtronів від модельної трактовки щодо структури ядра вибрано парні ізотопи селену. Вони займають проміжне положення між магічними ядрами по кількості протонів ( $Z = 34$ ) і нейtronів ( $N = 42 \div 48$ ), містять у собі багатогранність природи збуджень ядра, що може проявлятись як через деформацію форми ядра, так і через ступінь і типи колективності принаймні його нижчих збуджених станів.

Характерною рисою парних ізотопів селену є наявність у нижній частині їх енергетичного спектра вібраційного квадрупольного двофононного триплету ( $\Gamma^{\pi} = 0_2^+; 2_2^+; 4_1^+$ ) серед рівнів ротаційної смуги на основному стані ядра  $|0_1^+\rangle$ . Це приводить до того, що в кожному з вказаних станів міститься домішка як ротаційної, так і вібраційної моди, що дозволяє до ядер селену застосовувати моделі і вібраційного, і ротаційного спрямування з можливим урахуванням у структурі ядра вібраційно-ротаційного зв'язку між цими модами. Якщо діяти в рамках цього припущення, то можна виконувати відповідні обчислення перерізів нейtron-ядерного розсіяния на основі різних структурних моделей ядра з подальшим порівнянням між собою теоретичних розрахунків при одних і тих же значеннях спільних для них параметрів (наприклад, параметри оптичного нуклон-ядерного потенціалу) і досліджувати роль структурних параметрів ядра на обчислювані перерізи розсіяния нейtronів ядрами. У такий спосіб можна визначити для кожної моделі ділянки найбільшого їх впливу на форму кутового розподілу розсіяних нуклонів та значення перерізів, а також провести відповідне тестування самої моделі ядра. Наприклад, поведінка експериментальних значень статичних квадрупольних моментів перших  $2^+$ -станів парних ізотопів селену свідчить на користь їх подовжної деформації [1], у той час як структура енергетичного спектра може бути основою уявлення про ядро як таке, що має нестабільну форму [2].

Раніше при проведенні аналізу експериментальних даних по перерізам розсіяния нейtronів [3] і протонів [4] на ядрах  $^{76,80}\text{Se}$  було використано прості структурні моделі ядра, які дуже наблизено описували енергетичну структуру збуджених станів досліджуваних ядер і різні набори параметрів оптичного потенціалу, що не дозволяло надійно дослідити

роль модельної структури ядра на розраховані перерізи розсіяння. Ці роботи показали, що на основі будь-якої простої структурної моделі ядра неможливо описати з належною точністю кутові розподіли розсіяння нуклонів. Основна причина цього криється в змішаності різних мод збуджень у розглянутих ядрах і в неможливості їх урахувати на основі формалізму окремої простої моделі ядра.

В останні роки в багатьох роботах розрахунки перерізів нуклон-ядерного розсіяння виконуються на основі обчислювальної програми ECIS94 [5], що орієнтується на використання формалізму структурних моделей ядра: 1) вібраційної (однофононної ( $N = 1$ ), двофононної ( $N = 2$ )) - ВМ-Н [6]; 2) симетричної ротаційної - СРМ [5]; 3) асиметричної ротаційної - АРМ [7]; 4) вібраційно-ротаційної - ВРМ [8]. Додатково до цих моделей нами було виконано розрахунки перерізів розсіяння нейtronів ізотопами селену [9] на основі моделі м'якого по  $\beta$ -коливанням неаксіального ротора - МДЧ [10]. Формалізм МДЧ значною мірою еквівалентний моделі Фесслера - Гайнера ВРМ [8], якщо в них мова йде про нижні смуги збуджених станів парно-парних ядер. При цьому слід підкреслити, що МДЧ і ВРМ базуються на врахуванні (у різній формі) вібраційно-ротаційної взаємодії в гамільтоніані моделі. Беручи до уваги уявлення щодо ядра як м'якого ротора відносно  $\beta$ -коливань його поверхні, ми тим самим ефективно оцінюємо зв'язок між ротаційними та вібраційними модами руху.

Використання формалізму ВМ стосовно обчислення перерізів розсіяння  $^{76,82}\text{Se}$  ( $n,n$ ), ( $n,n'$ ) може бути обґрунтовано існуванням станів  $2_1^+$  (однофононний) та  $0_2^+; 2_2^+; 4_1^+$  (двофононні). Стани  $0_2^+$  і  $2_2^+$  інтерпретуються як базові  $\beta$ - і  $\gamma$ -вібраційних смуг відповідно. Наявність у парних ізотопів селену збудженого стану від'ємної парності  $3_1^-$  дає змогу розглядати його як початок октупольної ротаційної смуги або приписувати йому колективний вібраційний характер. Отже, ми маємо достатньо аргументів, аби використовувати декілька структурних моделей, спільніх за своїм походженням від гамільтоніана Бора [8].

Особливістю проведення аналізу перерізів взаємодії нейtronів з ядрами в рамках будь-якої структурної моделі є його двоетапність: обчислення енергетичної структури ядра мішені з подальшим теоретичним передбаченням значень перерізів нейtron-ядерного розсіяння (наприклад, у МДЧ [9, 11, 12]). У тому випадку, коли від теоретичної моделі вимагається відповідна точність в описі перерізів розсіяння, а енергетичний спектр ядра не може бути надійно відтвореним структурною моделлю, ми задоволюємося експериментальними значеннями щодо енергії та спінів [13, 14] його збуджених станів (у випадках ВМ, СРМ, АРМ). Подальший розвиток МДЧ з урахуванням м'якості ядра відносно подовжніх та поперечних коливань його поверхні [15] може дати інформацію по більшій кількості смуг збуджених станів, а це, безумовно, може покращити ситуацію відносно узгодження експериментальних перерізів розсіяння нейtronів з теоретичними оцінками.

### Аналіз модельних перерізів нейtron-ядерного розсіяння

Потенціальне розсіяння нейtronів ядрами може бути описано рівнянням Шредінгера з гамільтоніаном  $H = T + H_t + U(r,\theta,\phi)$ , в якому  $T$ ,  $H_t$  - оператори кінетичної енергії налітаючого нейтрона в системі центра мас і внутрішнього руху ядра мішені відповідно;  $U(r,\theta,\phi)$  визначає взаємодію налітаючого нейтрона з ядром мішені і в нашому випадку являє собою несферичний локальний оптичний потенціал, що включає в себе центральну комплексну та реальну спін-орбітальну взаємодії.

Нами при проведенні теоретичних розрахунків перерізів взаємодії швидких нейtronів з ядрами використано три варіанти моделі ядра: СРМ, ВМ та МДЧ. Для кожної з цих моделей радіуси ядра задаються у вигляді

$$R_i(\theta)_{\text{CPM}} = r_{oi} A^{1/3} \{ 1 + \beta_2 Y_{20}(\theta) + \beta_4 Y_{40}(\theta) \},$$

де  $\beta_2$  і  $\beta_4$  - параметри квадрупольної та гексадекапольної деформацій;

$$R_i(\theta, \phi)_{\text{BM}} = r_{oi} A^{1/3} \{ 1 + \sum \alpha_{2\mu} Y_{2\mu}(\theta, \phi) \},$$

де  $\alpha_{2\mu}$  - параметри деформації, що визначаються в квадрупольному наближенні через оператори народження та зникнення квадрупольних фононів;

$$R_i(\theta, \phi)_{\text{MDCh}} = r_{oi} A^{1/3} \{ 1 + \beta \cdot \cos \gamma \cdot Y_{20}(\theta, \phi) + 2^{-1/2} \beta \cdot \sin \gamma \cdot [Y_{22}(\theta, \phi) + Y_{2-2}(\theta, \phi)] \},$$

в якому  $\beta$  та  $\gamma$  - параметри (або змінні) загальної деформації та неаксіальності ядра відповідно.

Параметри потенціалу  $U(r, \theta, \phi)$  для ізотопів  $^{76,78,80,82}\text{Se}$  нами було обчислено [9] у п-мірному просторі параметрів, що варіювались, з використанням методу зв'язаних каналів та МДЧ на основі аналізу експериментальних даних по диференціальним перерізам пружного та непружного зі збудженням першого  $2^+$ -стану розсіяння нейтронів у діапазоні їх енергій від 1,5 до 6,0 MeV [16]. Їх значення для досліджуваних ізотопів селену дорівнюють

$$\begin{aligned} V &= (52,16 - 0,32 E_n - 20,4 \cdot (N-Z)/A) \text{ MeB}, & a_v &= 0,65 \text{ Фм}, & r_0 &= 1,24 \text{ Фм}, \\ W &= (7,19 + 0,25 E_n - 21,3 \cdot (N-Z)/A) \text{ MeB}, & a_w &= 0,59 \text{ Фм}, & r_{0w} &= 1,22 \text{ Фм}, \\ V_{so} &= 6,0 \text{ MeB}, \end{aligned}$$

з відповідними деформаціями  $\beta_0 = 0,236$  і  $0,211$  для ізотопів  $^{76,82}\text{Se}$ .

Теоретичні перерізи розсіяння нейтронів це сума перерізів прямого процесу (потенціальне розсіяння) і процесу розсіяння через стадію складеного ядра, переріз якого обчислювався за моделлю Хаузера - Фешбаха - Мольдауера [5].

Щодо параметрів неаксіальності  $\gamma_0$  і м'якості  $\mu_\beta$  ядер селену відносно подовжніх коливань, то їх значення було визначено в МДЧ за енергетичною структурою збуджених станів з урахуванням величини енергетичного множника  $\hbar\omega_0$   $\beta$ -коливань і ймовірностей Е2-переходів між найнижчими станами ядра ( $^{76}\text{Se}$ :  $\gamma_0 = 24,6^\circ$ ,  $\mu_\beta = 0,440$ ,  $\hbar\omega_0 = 1,847 \text{ MeB}$ ;  $^{82}\text{Se}$ :  $\gamma_0 = 25,2^\circ$ ,  $\mu_\beta = 0,317$ ,  $\hbar\omega_0 = 4,204 \text{ MeB}$ ). Апробовані таким чином параметри форми ядер і оптичного потенціалу використовувались у подальшому аналізі.

Порівняння розрахунків показало, що обчислені кутові розподіли пружно розсіяних нейтронів за різними моделями ядра особливо різняться між собою для кутів розсіяння  $\theta > 110^\circ$ . У першу чергу це стосується МДЧ і ВМ-1, теоретичні дані для яких більшою мірою різняться і між собою і від решти моделей. Це положення зберігається для обох ізотопів й енергій нейтронів.

Щодо непружного розсіяння зі збудженням першого  $2^+$ -рівня, то всі кутові розподіли по формі майже модельно незалежні при фіксованій енергії нейтронів, але в числовому визначенні суттєво різняться між собою, що може служити певним критерієм у виборі колективної моделі. Більш того, якщо при  $E_n = 1,5 \text{ MeB}$  кутові перерізи  $\sigma_{n,n}(2^+; \theta)$  для всіх моделей подібні за формуєю і мають просту форму, то вже при  $E_n = 5,0 \text{ MeB}$  ці перерізи становляться більш структуризованими. З цим, перш за все, пов'язано збільшення домішки перерізу прямого процесу при зменшенні одночасно перерізу непружного розсіяння через стадію складеного ядра. Отже, тестування структурної моделі ядра більш прозоре при зростанні енергії нейтронів, що добре демонструють рис.1 - 4, на яких, як приклад, наведено експериментальні і обчислені перерізи пружного і непружного розсіяння нейтронів з енергіями 1,5 - і 5,0 MeB для  $^{76}\text{Se}$ .

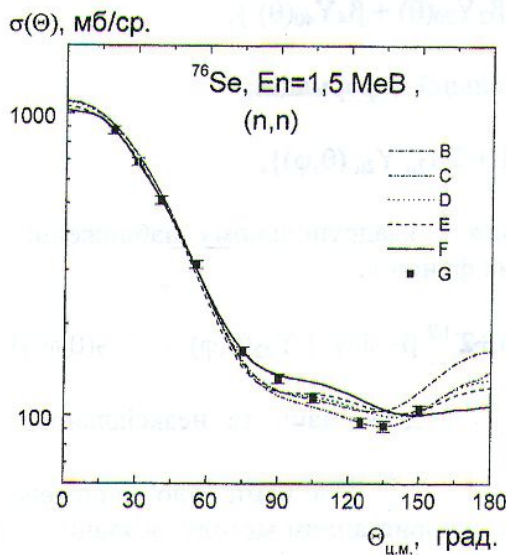


Рис. 1. Порівняння експериментальних диференціальних перерізів пружного розсіяння нейtronів з енергією 1,5 MeV ядрами  $^{76}\text{Se}$ (G-[16]) з розрахованими за різними варіантами теорії: В-BM-1; С-BM-2; D-CPM-1; Е-CPM-2; F-МДЧ.

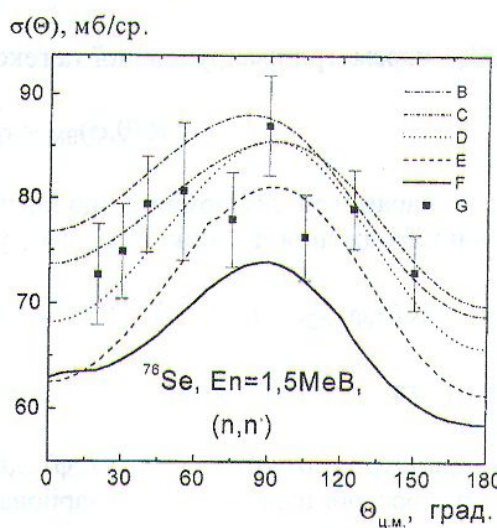


Рис. 2. Те ж саме, що і на рис. 1, для непруженого розсіяння нейtronів з  $E_n = 1.5 \text{ MeV}$ .

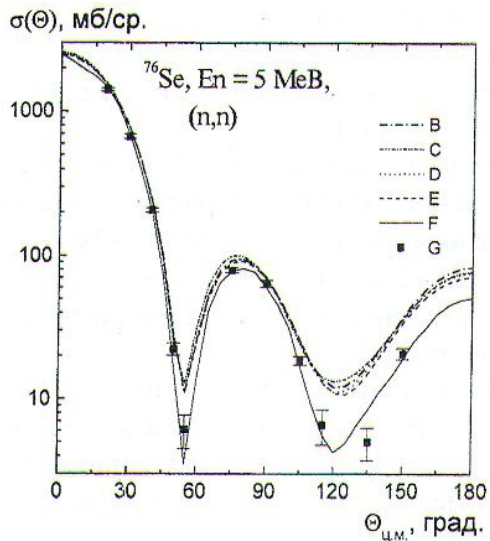


Рис. 3. Те ж саме, що і на рис. 1, для  $E_n = 5 \text{ MeV}$ .

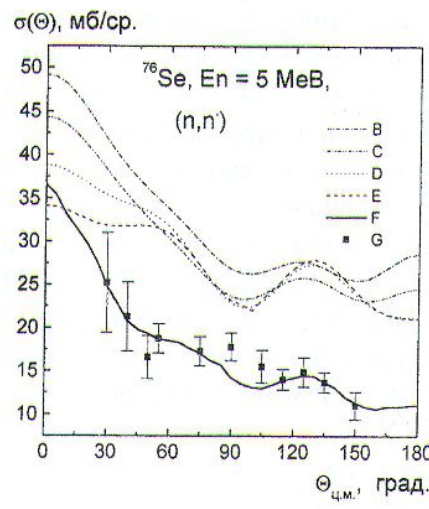


Рис. 4. Те ж саме, що і на рис. 1, для непруженого розсіяння нейtronів з  $E_n = 5 \text{ MeV}$ .

За фізичним змістом найбільш простою є BM-1, на основі якої обчислено перерізи пружного розсіяння  $\sigma_{n,n}^{\text{BM-1}}(\theta)$ . Вони завищенні на задніх кутах розсіяння порівняно з іншими моделями. Урахування двофононних станів у BM-2 понижує  $\sigma_{n,n}^{\text{teor}}(2_1^+; \theta)$ , зберігаючи подібність за формою з тим, що дає BM-1, оскільки включення додаткових станів веде до перерозподілу перерізів розсіяння. У випадку МДЧ перерізи непруженого розсіяння

$\sigma_{n,n}^{\text{МДЧ}}(2_1^+; \theta)$  розміщено нижче за інших, оскільки МДЧ включає в себе зміну форми ядра, і ця здатність ядра може розглядатись як появу додаткової багатоканальності в процесі розсіяння, особливо при зростанні енергії нейтронів.

Урахування  $\beta_4$  в симетричній ротаційній моделі (CRM-2) для кутів розсіяння  $\theta > 40^\circ$  майже не відчувається на поведінці  $\sigma_{n,n}^{\text{теор}}(2_1^+; \theta)$  порівнянно з тим, що дає CRM-1. Це узгоджується з висновками робіт [3, 4] про те, що величину параметра гексадекапольної деформації може бути знайдено додатково при аналізі перерізів непружного розсіяння зі збудженням  $4_1^+$ . Отже, визначення параметра  $\beta_4$  є модельно залежною процедурою.

Порівняння обчислених перерізів пружного і непружного розсіяння нейтронів з експериментальними показало можливість опису процесу розсіяння швидких нейтронів парними ізотопами селену в рамках вібраційно-ротаційної моделі. Це підтверджує істинність нашого уявлення про те, що ці ядра мають статичну деформацію, а колективні вібраційні рухи виникають навколо деформованого м'якого ротатора.

## СПИСОК ЛІТЕРАТУРИ

1. Lecomte R., Paradis P., Barrette J. et al. Measurement of the static quadrupole moments of the first  $2^+$  states in  $^{76}\text{Se}$ ,  $^{78}\text{Se}$ ,  $^{80}\text{Se}$  and  $^{82}\text{Se}$  // Nucl. Phys. - 1977. - Vol. A284, No. 1. - P. 123 - 134.
2. Кашуба И.Е., Комицевская Э.Ю. Параметры формы ядер в модели четно-четного неаксиального деформируемого ядра // Изв. АН СССР. Сер. физ. - 1975. - Т. 39, № 3. - С. 617 - 624.
3. Kurup R.G., Finlay R.W., Rapaport J. et al. Strong coupling and isospin effects in neutron scattering from  $^{76,80}\text{Se}$  // Nucl. Phys. - 1984. - Vol. A240, No. 2. - P. 237 - 256.
4. Delaroche J.P., Varner R.L., Clegg T.B. et al. Structure of low-lying states of  $^{78,80,82}\text{Se}$  deduced from ( $p, p'$ ) scattering at 16 MeV // Nucl. Phys. - 1984. - Vol. A414, No. 1. - P. 113 - 140.
5. Raynal J. Notes on ECIS94 // Centre d'Etudes de Saclay Service de Physique Théorique Laboratoire de la Direction des Sciences de la Matière. Septembre 1994. ISSN 0429-3460. CEA-N-2772.
6. Tamura T. Analysis of the scattering of nuclear particles by collective nuclei in terms of the coupled-channel calculation // Rev. Mod. Phys. - 1965. - Vol. 37, No. 4. - P. 679 - 708.
7. Давыдов А.С., Филиппов Г.Ф. Вращательные состояния неаксиальных ядер // ЖЭТФ. - 1958. - Т. 35, вып. 2(8). - С. 440 - 447.
8. Айзенберг Н., Грайнер В. Модели ядер. Коллективные и одночастичные явления / Пер. с англ. - М.: Атомиздат, 1975. - 456 с.
9. Голубова А.А., Кашуба И.Е., Породзинский Ю.В., Суховицкий Е.Ш.  $^{76, 78, 80, 82}\text{Se}(n,n), (n,n')$ : изоспиновые эффекты в нейтронном оптическом потенциале // Ядерная физика. - 1990. - Т. 51, вып. 3. - С. 660 - 668.
10. Davydov A.S., Chaban A.A. Rotation-vibration interaction in non-axial even nuclei // Nucl. Phys. - 1960. - Vol. 20, No. 3. - P. 499 - 508.
11. Кашуба И.Е. Рассеяние нуклонов на четно-четных ядрах с учетом их неаксиальности и деформируемости (Материалы конфер. по ядерно-физич. исследов., посвящен. 50-летию осуществления в СССР реакции расщепления атомн. ядра, Харьков, 4 - 6 окт. 1982 г.). - М.: ЦНИИатоминформ, 1983. - Ч. 2. - С. 149 - 153.
12. Кашуба И.Е., Породзинский Ю.В., Суховицкий Е.Ш. Применение модели Давыдова - Чабана для описания рассеяния быстрых нейтронов четно-четными ядрами // Ядерная физика. - 1988. - Т. 48, вып. 6(12). - С. 1688 - 1698.
13. Singh B., Viggars D.A. Nuclear data sheets for  $A = 76$  // Nucl. Data Sheets. - 1984. - Vol. 42, No. 3. - P. 233 - 368.
14. Möller H.W. Nuclear data sheets for  $A = 82$  // Nucl. Data Sheets. - 1987. - Vol. 50, No. 1. - P. 1 - 62.
15. Кашуба И.Е., Породзинський Ю.В. Колективні збудження парно-парних м'яких по ( $\beta, \gamma$ )-коливанням ядер в феноменологічній моделі квадрупольних наближень // Укр. фіз. журн. - 1999. - Т. 44, № 6. - С. 677 - 684.
16. Корж И.А., Лунев В.П., Мищенко В.А., Правдивый Н.М. Анализ сечений упругого и неупругого рассеяний нейтронов четными изотопами селена в области энергий 0,5 - 8,0 МэВ // Нейтронная физика. - М.: ЦНИИатоминформ, 1984. - Т. 3. - С. 173 - 178.

## ВЛИЯНИЕ ВИБРАЦИОННО - РОТАЦИОННОЙ СВЯЗИ В СТРУКТУРЕ ЯДРА НА СЕЧЕНИЯ НЕЙТРОН-ЯДЕРНОГО РАССЕЯНИЯ

І. Е. Кашуба, И. А. Корж, Н. Т. Скляр, Т. И. Яковенко

На ядрах четно-четных изотопов селена изучена зависимость теоретических сечений упругого и неупругого рассеяния нейtronов от модельной трактовки ядра. Показано, что исследуемые ядра могут иметь статическую деформацию, а коллективные вибрационные движения возникают вокруг деформированного мягкого ротора.

### INFLUENCE OF VIBRATION-ROTATION COUPLING IN A NUCLEAR STRUCTURE ON THE NEUTRON-NUCLEI SCATTERING CROSS SECTIONS

I. E. Kashuba, I. A. Korzh, N. T. Sklyar, T. I. Yakovenko

The dependence of theoretical cross sections of elastic and inelastic neutron scattering on nuclear structure model is studied for the even-even isotopes of selenium. It is shown that the nuclei under investigation may have static deformation while collective vibration motions appear around the deformed soft rotator.

На ядрах четно-четных изотопов селена изучена зависимость теоретических сечений упругого и неупругого рассеяния нейtronов от модельной трактовки ядра. Показано, что исследуемые ядра могут иметь статическую деформацию, а коллективные вибрационные движения возникают вокруг деформированного мягкого ротора.

Анализ ядерных структурных моделей показывает, что ядра селена включают в себя ядро-ротор с деформацией, имеющей вид эллипса с осями 1,42 и 1,43 fm, и мягкую оболочку из 32 нейтронов. Установлено, что ядра селена включают в себя ядро-ротор с деформацией, имеющей вид эллипса с осями 1,42 и 1,43 fm, и мягкую оболочку из 32 нейтронов.

При моделировании ядерных структур селена в работе [1] предполагалось, что ядра селена включают в себя ядро-ротор с деформацией, имеющей вид эллипса с осями 1,42 и 1,43 fm, и мягкую оболочку из 32 нейтронов.

При моделировании ядерных структур селена в работе [2] предполагалось, что ядра селена включают в себя ядро-ротор с деформацией, имеющей вид эллипса с осями 1,42 и 1,43 fm, и мягкую оболочку из 32 нейтронов.

При моделировании ядерных структур селена в работе [3] предполагалось, что ядра селена включают в себя ядро-ротор с деформацией, имеющей вид эллипса с осями 1,42 и 1,43 fm, и мягкую оболочку из 32 нейтронов.

При моделировании ядерных структур селена в работе [4] предполагалось, что ядра селена включают в себя ядро-ротор с деформацией, имеющей вид эллипса с осями 1,42 и 1,43 fm, и мягкую оболочку из 32 нейтронов.

При моделировании ядерных структур селена в работе [5] предполагалось, что ядра селена включают в себя ядро-ротор с деформацией, имеющей вид эллипса с осями 1,42 и 1,43 fm, и мягкую оболочку из 32 нейтронов.

При моделировании ядерных структур селена в работе [6] предполагалось, что ядра селена включают в себя ядро-ротор с деформацией, имеющей вид эллипса с осями 1,42 и 1,43 fm, и мягкую оболочку из 32 нейтронов.